# β″-アルミナの製造方法及び導電特性

Preparation Method and Conduction Property of  $\beta''$ -Alumina

技術本部 郎\*1 流 彦\*1 見\*1 地 和\*1 Ш 本 博

β"-アルミナはナトリウムイオンの超イオン伝導体であり、ナトリウム二次電池あるいはアルカリ金属熱電発電等のエネルギ 一変換機器用固体電解質として用いられる.本報ではエネルギー変換効率を大きく左右する導電特性に対する β″-アルミナのミ クロ組織あるいは組成の影響を定量的に検討した.また,含有元素である Al,Na 及び Li の酸化物間の反応性を検討すること により従来法を凌駕(りょうが)する eta''-アルミナの新規製造法を確立した。得られた eta''-アルミナは微細組織であり、比抵抗 及び強度はそれぞれ 10 Ω·cm(200 ℃)及び 270 MPa(室温)と良好であった。作製したチューブをアルカリ金属熱電発電に 適用し、800 ℃で540 mW/cm2の出力を得た。

 $\beta''$ -alumina is a two dimensional superionic conductor of sodium ions. It is used as the solid electrolyte of Na/molten salt secondary batteries and AMTECs (Alkali Metal Thermo-Electric Converter). In this paper, the relationship between the conduction properties, microstructure and the amount of chemical component for  $\beta''$ -alumina was studied. As an analysis of the chemical reaction of each component precisely, we established a new  $\beta''$ -alumina preparation method rather than the conventional method. A sintering body obtained by the new method showed a fine microstructure. The resistivity and bending strength were 10 Ω·cm (at 200 °C) and 270 MPa (at room temperature), respectively. The electrical output of a tube type AMTEC cell using this electrolyte was 540 mW/cm<sup>2</sup> at 800 °C.

# 1. 緒

近年, 地球温暖化を含め環境問題が深刻化しており, 世界的規 模でのクリーンエネルギー及び高効率エネルギーシステムへの取 組みが強く望まれている。その中で、固体電解質を用いたエネル ギー変換システムは原理的にクリーン及び高効率を満足させるも のであり、当社を初め国内外で研究開発が盛んに行われている.

固体電解質を用いたエネルギー変換において、当社では安定化 ジルコニアを用いる固体電解質型燃料電池 (Solid Oxide Electrolyte Fuel Cell, 以下 SOFC と称す) の開発に着手している(1). また, β"-アルミナを用いる Na/溶融塩 型二次電池(2) (以下 Na/X 電池と称す) 及び熱電変換の一種であるアルカリ金属熱電 発電(3) (Alkali Metal Thermo - Eletric Converter, 以下 AMTECと称す)についても研究を行っている。

Na/X 電池は、その容量に応じて電気自動車及びロボット等の 移動体用電源あるいは夜間電力の貯蔵への要望が高い、AMTEC も熱源の制約がなく、小容量でも熱電変換効率が高いという特徴 を持つ. 本報では Na/X 電池及び AMTEC のキー材料とも言う べき β"-アルミナの製造方法及び β"-アルミナの組織あるいは組 成が導電特性へ及ぼす影響について検討した結果を示すとともに、 試作したチューブの AMTEC への応用例についても紹介する.

# 2. β"-アルミナの特徴と電池の原理

## 2. 1 β"-アルミナの特徴

β"-アルミナとは Na<sub>2</sub>O-Al<sub>2</sub>O<sub>3</sub>系の化合物のうち, 理想組成が  $Na_2O \cdot 5.33 Al_2O_3$ のものを指している。  $\beta''$ -アルミナは六方晶に 属し、結晶学的な特徴としては基本単位であるスピネルブロック と Na-O 層が C 層方向に交互に積重なった構造をしている。そ の構造を図1(a)に示す。この [NaO] で表現される Na-O 層は すきまの多い構造をとっており、図1(b)に示すように Na+の取

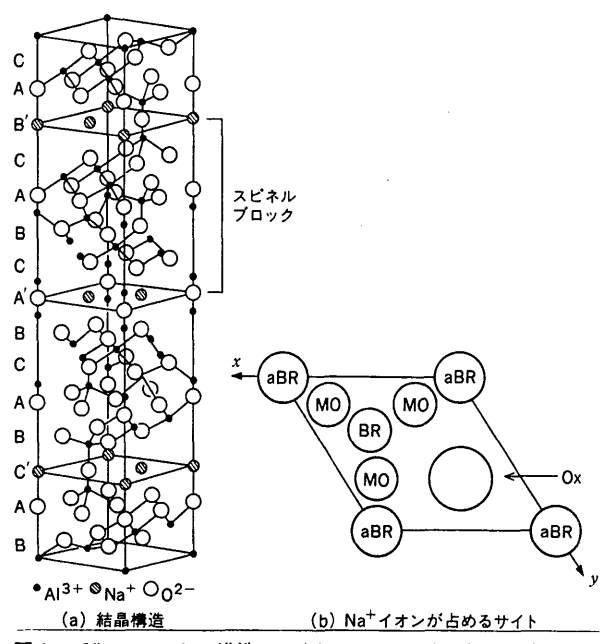


図1 β"-アルミナの構造 (a) β"-アルミナの結晶構造, (b) 導電面である Na-O 層及び面内の Na<sup>+</sup>イオンが占めるサイト を示す。 Structure of \(\beta''-\text{alumina}\)

りうるサイトだけでもBR (Beevers - Ross), aBR (anti Beevers-Ross) 及び MO (mid Oxygen) と言われる三種類のサ イト<sup>(4)</sup>がある。そのため、Na-O 層内の各サイトを Na<sup>+</sup>イオンが 移動するという二次元伝導型のイオン伝導体となり、後述する各 種エネルギー変換システムの固体電解質として用いられる.

β"-アルミナは難焼結性であるため,通常 1 600 ℃以上で焼結 を行うが、状態図<sup>(5)</sup>から1580 ℃以上では δ-Na<sub>2</sub>O·Al<sub>2</sub>O<sub>3</sub>とβ-ア ルミナに分解することが知られている。そのため、一般に Li<sub>2</sub>O

<sup>\*1</sup>基盤技術研究所機能材第一研究室

<sup>\*2</sup>基盤技術研究所機能材第一研究室長

のドープににより、 $Al^{3+}$ の代わりにイオン半径の大きい  $Li^+$ が置換してスピネルブロックのひずみを緩和することで結晶を安定化させている。 リチア安定化  $\beta''$ -アルミナの一般的な組成は、それぞれ  $Al_2O_3$ が 90.4,  $Na_2O$  が 8.85 及び  $Li_2O$  が 0.75 wt %である。

#### 2.2 電池の原理

 $\beta''$ -アルミナを用いた電池として、Na/X 電池及び AMTEC があるが、本報では AMTEC を例にしてその原理を以下に示す。

AMTEC の作動媒体は Na のみであり,図 2 に示すように装置は二種類の熱源に接している。低温及び高温はそれぞれ, $400\sim700~K~DU~900\sim1~300~K~が想定される。Na は電磁ポンプにより循環するが,<math>\beta''$ -アルミナの両面はそれぞれ高温の液体 Na 及び気液平衡にある低温の蒸気( $10^{-4}\sim10^{-2}$ Pa)と接している。このときの蒸気圧差により Na 濃淡電池が形成され,希薄 Na 蒸気側に Mo 等の多孔性電極を配して外部負荷に接続すると,電気化学的に熱電発電が可能となる。そのときの熱効率は  $30\sim50~\%$ であり,単独で用いる宇宙用等の特殊用途あるいは地上用を想定した SOFC-AMTEC のコンバインドサイクルなどが考えられる。

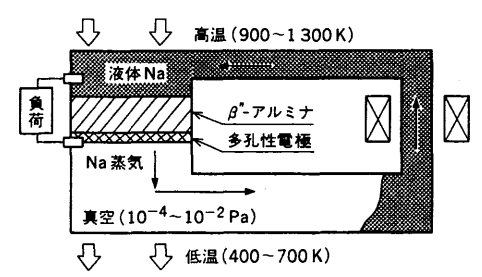


図 2 AMTEC の原理 固体電解質に β"-アルミナを用い、AMTEC が温度差を駆動力として直接発電を行う原理を示した。 Principle of AMTEC

# 3. 試 験 方 法

# 3.1 調製法

最も一般的な  $\beta''$ -アルミナの調製法は、図 3(a)に示す "ゼータ法" と呼ばれる方法(6)である。しかしながら、これまでの一連の研究によりゼータ法では組織制御が困難であることが分かったため、本報では図 3(b)に示す新規製造法により調製を行った。

まず、 $Al_2O_3$ と  $Na_2CO_3$ を分散剤を加えたブタノール溶媒中でボールミルを用いて混合した後に、仮焼した。その仮焼粉に、 $Li_2CO_3$ を添加し、再度分散剤を加えたブタノール溶媒中でボールミルによる混合を行った。その後、造粒及び成型を行い、焼結

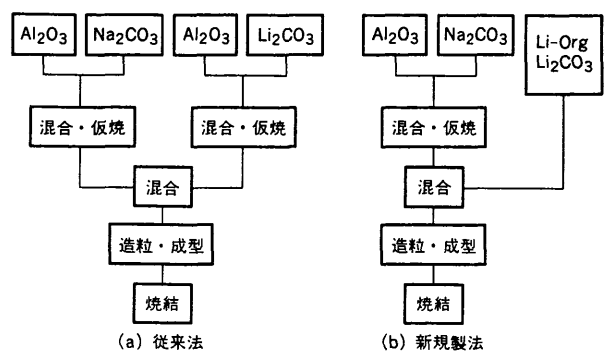


図 3 製造方法のフローチャート β"-アルミナの (a) 従来の 製造方法及び (b) 当社開発の新規製造方法を示す。 Flow chart of preparation method

を実施した.

本報では組成の影響を検討するため、 $Al_2O_3/Na_2O$  モル比を  $5.3\sim7.0$  及び  $Li_2O$  量を  $0.25\sim1.0$  wt %の範囲で変化させ、その後、更に詳細に組成を変化させることとした。組成あるいは焼 結条件等が物性に及ぼす影響はディスク状試料を用いて検討を行い、AMTEC 発電試験にはチューブ状試料を供した。

#### 3.2 組織及び強度

得られた試料の密度はアルキメデス法にて測定した。また、研磨面を150℃の燐酸中で一分間エッチングした面について、光学顕微鏡による粗大粒子及び SEM による微細粒子の観察を行った。得られた写真の画像処理を行い、平均粒径あるいは単位長さ当たりの粒界数を求め、ミクロ組織の数値化を行った。

強度は、JIS R 1601 に従い 4 点曲げ法により測定した。

## 3.3 結晶相の同定

結晶相の同定はX線回折により行ったが、数種類の相が存在するため、次式を用いて $\beta$ "-アルミナ相の割合を定量的に求めた。

$$\beta'''1比率(%) = \frac{I_{\beta''}/0.8}{(I_{\beta''}/0.80 + I_{\beta}/0.55 + I_{\alpha} + I_{S}/0.85)} \times 100 \quad (1)$$

 $I_{\beta''}$ :  $\beta''$ -アルミナの 210 面のピーク強度

 $I_{\beta}$ : β-アルミナの 017 面のピーク強度

 $I_{lpha}$ :lpha-アルミナの 113 面のピーク強度

I<sub>s</sub>: NaAlO₂の 120 面のピーク強度

#### 3.4 導電特性

導電率は、 $^{\Box}5 \times L$  15 mm のロッド状試料に白金電極を焼付け、窒素気流中で交流インピーダンス法にて室温 $^{\sim}800$   $^{\sim}$ 0 の温度範囲で測定した。装置の最大周波数が 13 MHz と高いため、複素インピーダンスの Cole-Cole プロットにより、低温側(100  $^{\sim}$ 以下)では粒内抵抗及び粒界抵抗の分別を行った。

#### 3.5 AMTEC 発電試験

β"-アルミナチューブ表面にスクリーン印刷法にて Mo あるいは TiCペーストを印刷後,水素雰囲気で焼付けて電極 (カソード)を作製し、単セルとした。チューブの上端を O-リングにてシールし、チューブの外側を真空排気した。チューブの内側に Na を注入し、事前に挿入している棒状のシースヒータで加熱を行った。なお、本装置は 4本のセルを同時に評価できる仕様となっている。

作製したセルについて、出力特性のみならず、FRA(<u>Frequency Responce Analyzer</u>)によるインピーダンス測定及び電流遮断法等による各種電気化学的評価も実施した。

## 4. 結果と考察

# 4.1 調 製 法

 $\beta$ "-アルミナの調製には各種の方法が提案されているが、最も一般的な方法は"ゼータ法"であり、そのフローシートは既に図3(a)に示した。

ゼータ法の特徴は、含有量の少ない  $\text{Li}_2\text{O}$  に関して、 $\text{Li}_2\text{O}$  源と  $\text{Al}_2\text{O}_3$  を反応させてゼータアルミナ( $\text{Li}_2\text{O} \cdot 5$   $\text{Al}_2\text{O}_3$ )という化合物に変換して供給することである。これにより混合時の  $\text{Li}_2\text{O}$  原料の見掛けの体積が増加し、 $\beta''$ -アルミナの単相化が可能となった。これに対し、当社では  $\beta''$ -アルミナの単相化のみならず、強度あるいは耐久性に寄与するミクロ組織にも着目して、図 3(b)に示す新規製造法を提案しており、その詳細を以下に示す。

 $Al_2O_3$ と  $Na_2CO_3$ の仮焼粉に、溶媒に溶ける Li-アルコキシドを混合した後、焼結するという手法で調整したところ、酸化リチ



(a) 従来法

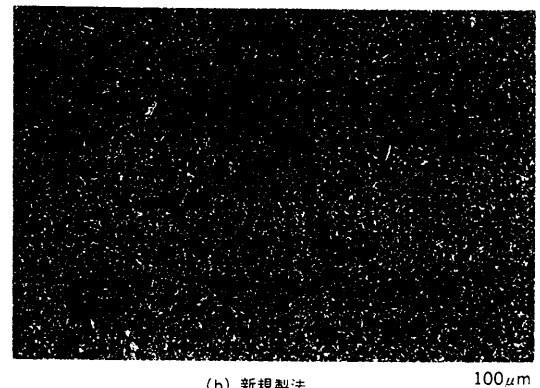


図 4 製法によるミクロ組織変化 (a) 従来法及び(b) 新規製法で作成した β"-アルミナのミクロ組織を示す。 (b)の方が微細であることが分かる。 Variation of microstructure with preparation method

(b) 新規製法

ウム量が0.5 wt %以上で $\beta''$ -アルミナの単相化を図ることがで きた、なお、詳細な検討の結果、仮焼粉に Li<sub>2</sub>O 源を添加する場 合、Li-アルコキシドの代わりに Li<sub>2</sub>CO<sub>3</sub>を使用しても同様な結果 が得られることが分かり、以後原料のコスト及び安定性から判断 して Li<sub>2</sub>CO<sub>3</sub>を使用することとした。新規製造法及びゼータ法で 得られた焼結体のミクロ組織をそれぞれ、図4(a)及び図4(b)に 示す。これより、ゼータ法に比較し、新規製造法では組織が微細 化していることが分かる.

### 4.2 組織と導電特性

β"-アルミナの抵抗は、Na/X 電池あるいは AMTEC のオー ミック抵抗の大部分を占める。そのため、eta''-アルミナの比抵抗 低減は電池性能向上に必要不可欠である.このうち,ミクロ組織 と導電特性の関係については、一般的に結晶中の粒子が粗大化す ると導電率は増加するが、強度が低下するという相反する傾向が ある.

そこで、ミクロ組織と導電特性の関係について定量的に検討を 行った。焼結温度を変化させることでミクロ組織を変化させ,そ のミクロ組織観察写真の画像処理により定量化を行った。 得られ たデータの統計処理により、焼結体組織の個々の粒子の平均粒径 及び平均粒径の逆数である単位長さ当たりの粒界数等を求めた。 また、100℃までは粒内及び粒界抵抗を分別可能であり、それぞ れのアレニウスプロットは直線を示した. その直線性を利用し, 次式で高温の粒内及び粒界抵抗を計算により求めた。 なお, 次式 は、250℃まで成立することを事前に確認した。

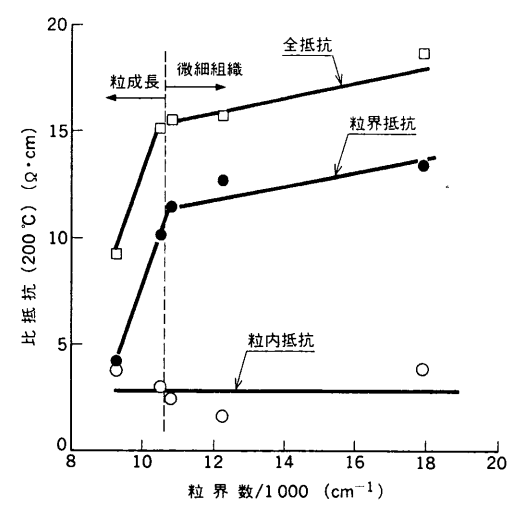


図5 粒界数と各比抵抗の関係 (200℃) 粒界数と 200℃における粒内、粒界及び全抵抗との関係を示 す. 粒界数増加で、粒界及び全抵抗が増加し、屈曲点

Relationship between resistivity and number of grain boundary

σ:全導電率 σg:粒内導電率 σgb:粒界導電率 T:絶対温度

k:ボルツマン定数 Ea:活性化エネルギー

粒界数と 200 ℃における全抵抗及びそれを分別して得られた粒 内及び粒界抵抗の関係を図5に示す. これより, 粒界抵抗が粒内 抵抗に比較して大きいことが分かる。また、粒内抵抗は粒界数に 対してほぼ一定であるが、 粒界抵抗は粒界数の増加と共に増加し、 粒内及び粒界抵抗の和である全抵抗も当然ながら粒界抵抗と同じ 傾向を示すことが分かる. 全抵抗及び粒界抵抗は, 粒界数が 11 000 cm<sup>-1</sup> の値付近で屈曲しているが、この値は異常粒成長開 始点に相当している.

#### 4.3 組成と導電特性

リチア安定化 β"-アルミナの最も一般的な組成は、Al<sub>2</sub>O<sub>3</sub>が 90.4, Na₂O が 8.85 及び Li₂O が 0.75 wt %と言われている<sup>(6)(7)</sup>. この値は1970年代に決定されたものであり、現在の各種原料の 純度向上等による物性変化あるいは先に述べた新規製造法の適用 により、その最適組成が変化することは十分に考えられる。 そこ で、以下に酸化ナトリウム及び酸化リチウム量について検討した 結果を示す.

#### 4.3.1 酸化ナトリウム量

酸化ナトリウム量を表すために、Al<sub>2</sub>O<sub>3</sub>/Na<sub>2</sub>Oのモル比で表現 した. 酸化リチウム量を 0.75 wt %と固定し, Al<sub>2</sub>O<sub>3</sub>/Na<sub>2</sub>O 比を 理論組成の5.3から $\beta''$ -アルミナの生成限界である7.0まで変化 させた。その結果、密度とeta" 化率を満足させる  $Al_2O_3/Na_2O$  比 は6.0~6.6の範囲であり、Na<sub>2</sub>O量としては9.1~8.4 wt %と なる. なお、従来法における一般的と言われる組成の Al<sub>2</sub>O<sub>3</sub>/ Na<sub>2</sub>O 比は 6.21 である。

次に、Al<sub>2</sub>O<sub>3</sub>/Na<sub>2</sub>O 比を 6.0~6.6 の間で詳細に変化させ、そ のときの密度及 $U\beta''$ 化率との関係を図6(a)に示す。これにより、 この範囲では相対密度は 97 %以上であり、 $\beta$ "-化率は比が 6.5 のときに 100 %になることが分かった.

## 4.3.2 酸化リチウム量

酸化リチウムに関しても、その添加量範囲を大きく変化させた 後、適性範囲内で更に詳細に変化させるという方法を取った。

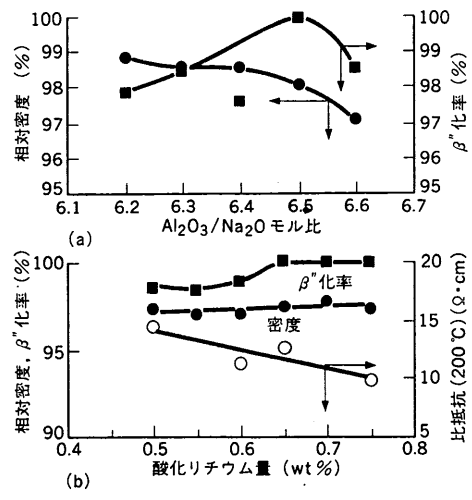


図 6 密度、β"化率及び比抵抗と化学組成の関係 密度、β"化率及び比抵抗と化学組成の関係を求 めた図、(a) Al<sub>2</sub>O<sub>3</sub>/Na<sub>2</sub>O モル比、(b) 酸化リ チウム量の適正化を行った。 Variation of density, β"phase and resistivity with chemical component

表 1 β"-アルミナ焼結体の物性 Properties of sintered β"-alumina

		従来法	新規製造法
Al <sub>2</sub> O <sub>3</sub> /Na <sub>2</sub> O モル比		6.21	6.5
Li₂O 量	(wt %)	0.75	0.75
強度(室温)	(MPa)	243	271
比抵抗(200℃)	(Ω·cm)	11.6	10.2
10 μm 以上の粒子が占め る面積の割合 (%)		10	0

 $Li_2O$  量を  $0.25\sim1.0$  wt %まで変化させて各種物性を測定した結果,その適正範囲は  $0.50\sim0.75$  wt %にあることが分かった.

次に、 $\text{Li}_2\text{O}$  量を  $0.50\sim0.75$  wt %の範囲で変化させたときの密度、 $\beta$ " 化率及び比抵抗(200  $^{\circ}$   $^{\circ}$   $^{\circ}$   $^{\circ}$   $^{\circ}$  化率及び比抵抗(200  $^{\circ}$   $^{\circ}$ 

最終的に酸化ナトリウム及び酸化リチウムを上記範囲にし、焼結条件を適正化して得られた焼結体の物性を表1に示す。表1より、新規製造法による組成の適正化により、微細組織を保った状態で、高導電性及び高強度の  $\beta''$ -アルミナ焼結体を得ることができた。

#### 4.4 AMTEC の性能

 $4.1\sim4.3$  節で適正化して得られた製法及び組成に従い、外径 15、長さ 165、肉厚 1.0~mm の  $\beta''$ -アルミナのチューブを作製し、AMTEC 試験に供した。チューブ内の Na をシースヒータで過熱し、チャンバは真空ポンプで  $10^{-2}\sim10^{-3}$ Torr に減圧した。

図7に AMTEC セルの 電流-電圧 及び 電流-出力 曲線の温度 依存性を示す。AMTEC は熱電発電であるため温度増加に伴い 当然ながら出力特性は向上し、800℃では 540 mW/cm²という出力が得られた。さらに、そのときの Tafel プロットから Mo 電極の電荷移動律速型の電極反応であること、及び最高出力点における電圧ロスの約7割は Mo 電極の分極によることを明らかにした。今後、出力増加のためには電極材料<sup>(8)</sup>あるいは電極の微細構造等を検討する必要がある。

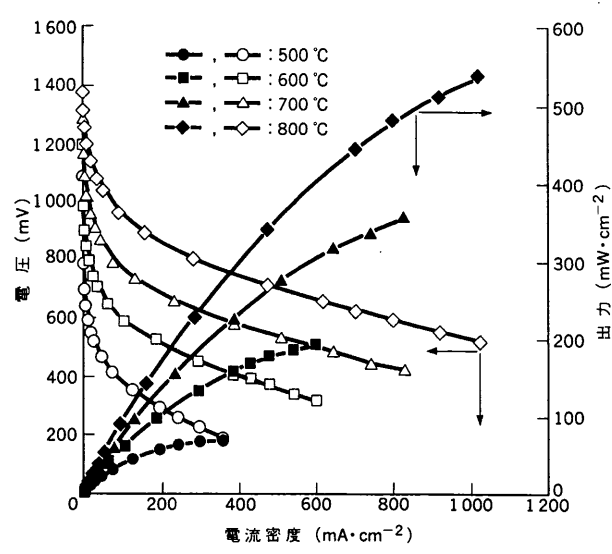


図7 AMTEC セル性能の温度依存性 試作 AMTEC セルの 電流-電圧 及び 電流-出力 特性の温度依存性を示す。 AMTEC cell performance

# 5. ま と め

電力貯蔵及び移動用電源としての Na/X 電池あるいは高効率の熱電変換としての AMTEC にとって、β"-アルミナはシステム成立の可否を握るキー材料である。筆者らは、その組成及び組織の適正化とともに当社独自の製造法の確立を行った。さらに、試作チューブによる AMTEC 発電試験も実施した。各種試験により得られた成果を以下に示す。

- (1) ミクロ組織の画像処理による定量化及び高温における粒内及 び粒界抵抗の分別により、 $\beta''$ -アルミナの組織と導電特性の関係を定量化することができた。
- (2)  $Al_2O_3$ と  $Na_2CO_3$ を混合・仮焼後に  $Li_2O$  源を添加して焼結するという新規製造法を確立し、特に組織の微細化及び強度の面で従来の製造法と比較して優れた焼結体を得た。
- (3) 酸化リチウム量の適正範囲は、0.65~0.75 wt %である。
- (4) Al<sub>2</sub>O<sub>3</sub>/Na<sub>2</sub>O モル比の最適値は、約6.5 である。
- (5) 試作チューブを AMTEC 試験に供し, 800 ℃で 540 mW/cm²という出力を得た.

これら一連の成果を基にβ″-アルミナチューブを作製し、現在、Na/X 電池及び AMTEC 試験に供している。今後、実際の電池での試験結果をフィードバックすることで、β″-アルミナの性能向上及び Na/X 電池及び AMTEC の早期実用化に向けて一層の開発の加速を図っていく所存である。

## 参考文献

- (1) 皆沢勝司ほか,固体電解質型燃料電池の開発,三菱重工技報 Vol.28 No.1 (1991) p.41
- (2) Hashiguchi, K. et al., 28 th IECEC Vol.1 (1993) p.1 117
- (3) Sasakawa, E. et al., 27th IECEC Vol.3 (1992) p.143
- (4) Hagenmuller, P. et al., Solid Electrolytes, Academic Press (1978) p.260
- (5) De Vries, R. C. et al., J. Am. Ceram. Soc. Vol.54 (1969) p.364
- (6) Youngblood, G. E. et al., Am. Ceram. Soc. Bull. Vol.56, No 2, (1977) p.206
- (7) Hodge, J.D., J Am. Ceram. Soc. Vol.67, No.3, (1984) p. 183
- (8) Kato, A. et al., 28 th IECEC Vol.1 (1993) p.814